



БИООРГАНИЧЕСКАЯ ХИМИЯ

том 12 * №11 * 1986

УДК 577.217.335

ОПРЕДЕЛЕНИЕ ОСТАТКОВ ФОСФОРНОЙ КИСЛОТЫ, УЧАСТВУЮЩИХ В ОБРАЗОВАНИИ ПРОСТРАНСТВЕННОЙ СТРУКТУРЫ тРНК^{Leu}_{IAG} МОЛОЧНОЙ ЖЕЛЕЗЫ КОРОВ

Петрушенко З. М., Тукало М. А., Мацука Г. Х.

Институт молекулярной биологии и генетики Академии наук УССР, Киев

Участие остатков фосфорной кислоты в образовании третичной структуры тРНК^{Leu}_{IAG} молочной железы коров, принадлежащей к классу тРНК с длинной вариабельной петлей, исследовали с помощью алкилирующих реагентов этилнитрозомочевины и метилнитрозомочевины. Показано, что низкий уровень модификации имеют фосфаты следующих нуклеотидов: 7, 8, 9, 10 — на изгибе молекулы между акцепторным и D-стеблем; 18, 19, 20A, 21 D-петли; 47Н, 49 на стыке вариабельного и T-стебля; 57, 58, 59 T-петли.

В последнее время для изучения пространственной структуры тРНК в растворе широко применяется метод химической модификации. Используя специфические реагенты, можно определить те основания, которые образуют водородные связи с другими компонентами молекулы или входят в координационные центры металлов, стабилизирующих структуру тРНК.

Более широкую информацию о пространственной структуре молекул тРНК можно получить, используя химические соединения, модифицирующие фосфаты. Ранее было показано, что такими реагентами могут быть этилнитрозомочевина и метилнитрозомочевина [1—5]. Эти соединения могут алкилировать также остатки гуанозина по N7- положению, но степень модификации по тимину намного ниже, чем по фосфатным группам [4]. Метод модификации тРНК алкилнитрозомочевинами очень прост в исполнении, высокочувствителен благодаря разработке методов быстрого гель-секвенирования и позволяет получать количественные характеристики уровня модификации фосфатов. Реакционная способность фосфатов определяется их доступностью для реагента, которая снижается при образовании ими водородных связей или при взаимодействии их с ионами металлов. Этот метод может применяться для любых видов РНК [5].

Особый интерес представляет использование метода химической модификации для исследования пространственной структуры тех тРНК, рентгеноструктурный анализ которых затруднен или отсутствует. К ним в первую очередь относятся тРНК с длинной вариабельной петлей. В настоящей работе модификация алкилнитрозомочевинами использована для изучения пространственной структуры одного из представителей этого класса — тРНК^{Leu}_{IAG} молочной железы коров. Интерес к тРНК^{Leu} вызван их участием в адаптации к направленности белкового синтеза клеток эпителия молочной железы [6]. Первоначальная структура тРНК^{Leu}_{IAG} была установлена нами ранее [7].

Доступность фосфатов тРНК^{Leu}_{IAG} для алкилирования этилнитрозомочевиной и метилнитрозомочевиной исследовали в условиях, обеспечивающих нативную структуру молекул (0,02 М MgCl₂ и 0,1 М NaCl), и в денатурирующих условиях (80° С в отсутствие ионов Mg²⁺). тРНК предварительно метили ³²P по 3'- или 5'-концу. После алкилирования тРНК^{Leu}_{IAG} была гидролизована по модифицированным фосфатам в слабощелочной среде. Полученные фрагменты анализировали электрофорезом в 12,5%

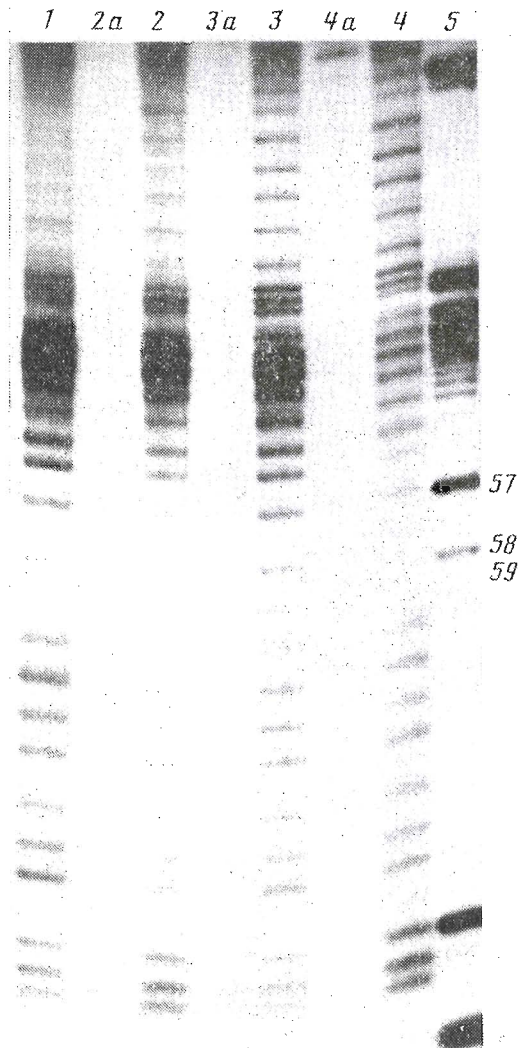


Рис. 1

Рис. 1. Радиоавтограф 12,5% полиакриламидного геля с разделением фрагментов 3'-меченой тРНК _{TAG}^{Leu}, полученных в результате гидролиза молекул, алкилированных метилнитрозо- (1, 2) и этилнитрозомочевиной (3, 4) в денатурирующих условиях (1, 3) и в условиях, стабилизирующих пространственную структуру (2, 4); 1a, 2a, 3a, 4a — гидролизаты контрольной инкубации тРНК _{TAG}^{Leu} в отсутствие реагентов; 5 — тРНК _{TAG}^{Leu}, частично гидролизованная рибонуклеазой Т₁. Указаны номера фосфатов с низким уровнем модификации в условиях, стабилизирующих структуру тРНК

Рис. 2. Радиоавтограф полиакриламидного геля с разделением фрагментов, полученных в результате гидролиза 5'-меченой тРНК _{TAG}^{Leu}, алкилированной этилнитрозомочевиной в денатурирующих условиях (2) и в условиях, стабилизирующих структуру тРНК (3); 2a и 3a — соответствующие контрольные эксперименты; 1 — тРНК _{TAG}^{Leu}, частично гидролизованная рибонуклеазой Т₁.



Рис. 2

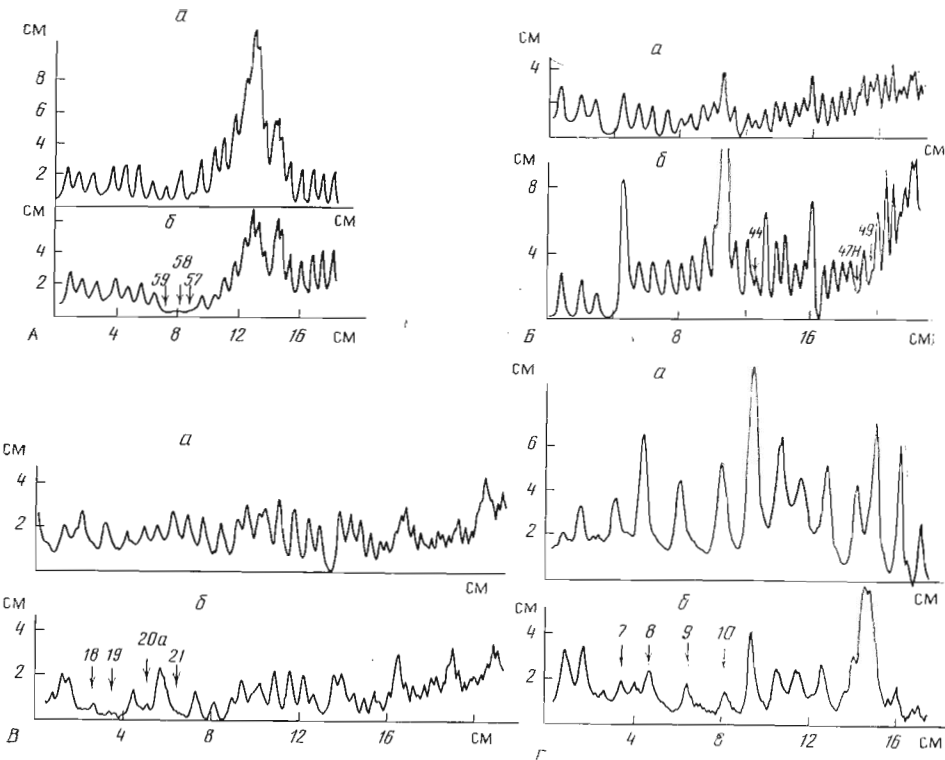


Рис. 3. Денситограммы радиоавтографов полиакриламидных гелей, в которых были разделены фрагменты меченої тРНК_{IAG}^{Leu}, полученные в результате алкилирования этилнитрозомочевиной в денатурирующих условиях (*α*) и в условиях, сохраняющих нативную структуру молекулы (*β*). Стрелками указаны фосфаты, имеющие низкий уровень модификации в условиях, стабилизирующих структуру тРНК. *A* – денситограммы дорожек 3 и 4 радиоавтографа ПААГ, изображенного на рис. 1; *B* – денситограммы дорожек 2 и 3 радиоавтографа ПААГ, изображенного на рис. 2. Радиоавтографы ПААГ, соответствующие денситограммам *B* и *Г*, не приводятся.

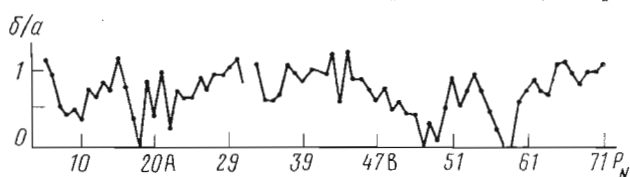


Рис. 4. Относительные реакционные способности фосфатов тРНК_{IAG}^{Leu}, б/а – отношение интенсивностей соответствующих электрофоретических полос электрофореграмм опытов по алкилированию тРНК в условиях, стабилизирующих структуру молекулы, и в денатурирующих условиях (см. рис. 3). P_n – номера фосфатов

полиакриламидном геле в присутствии 8 М мочевины (рис. 1 и 2). Интенсивности электрофоретических полос, которые отражают степень модификации фосфатов, определяли с помощью сканирующего денситометра (рис. 3).

Из кривой расчета денситограмм видно (рис. 4), что при алкилировании тРНК_{IAG}^{Leu} этилнитрозомочевиной в условиях, когда полимер имеет нативную структуру, низкий уровень модификации имеют фосфаты следующих нуклеотидов: 7, 8, 9, 10, 18, 19, 20A, 21, 44, 47H, 49, 57, 58, 59. На рис. 5 изображено расположение этих фосфатов в структуре тРНК_{IAG}^{Leu}. Нумерация нуклеотидов дана соответственно нумерации дрожжевой тРНК^{Phe} [8]. Аналогичные результаты были получены при использовании метилнитрозомочевины, однако уровень модификации был несколько ниже, чем при алкилировании этилнитрозомочевиной.

Большой интерес представляет сравнение данных по модификации этилнитрозомочевиной тРНК I класса (с короткой вариабельной петлей)

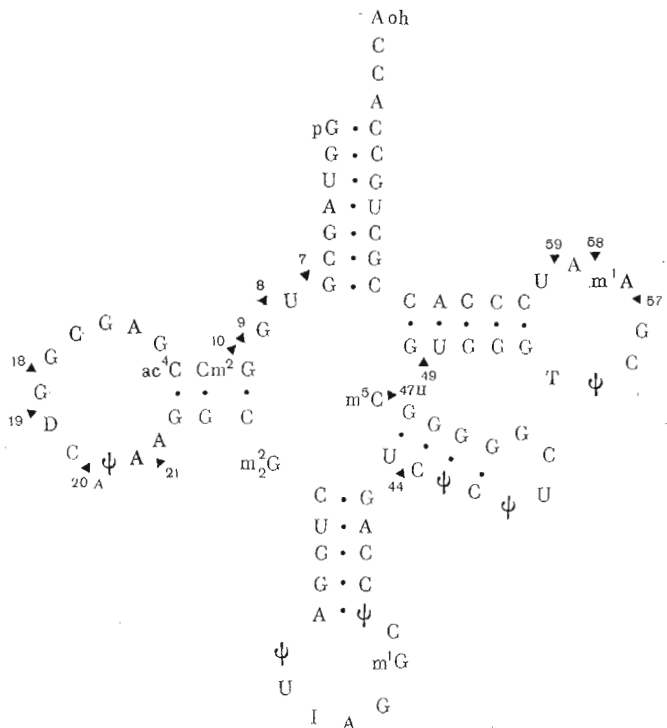


Рис. 5. Структура тРНК^{Leu}_{IAG} в виде клеверного листа. Треугольниками обозначены фосфаты с низким уровнем модификации в условиях, стабилизирующих нативную структуру молекулы

и тРНК II класса (с длиной вариабельной петлей). Проведение такого сравнения облегчается двумя следующими обстоятельствами: а) знанием трехмерной структуры тРНК^{Phe} из дрожжей в кристалле; б) хорошим соответствием данных о пространственной структуре тРНК^{Phe} в кристалле и растворе.

Сравнение данных по химической модификации этилнитрозомочевиной ряда тРНК I класса [1, 5, 9] и данных, полученных нами, показывает, что почти во всех исследованных тРНК низкий уровень модификации имеют фосфаты нуклеотидов 7, 8, 9, 10, 18, 57, 58, 59, что свидетельствует о возможной их общей роли в организации макроструктуры молекулы. Исходя из этого предположения и опираясь на литературные данные об участии фосфатов в формировании пространственной структуры тРНК^{Phe} из дрожжей [10], полученные нами результаты можно интерпретировать следующим образом: фосфаты нуклеотидов 7–10, 18, 19, 20A, 21, 58, 59 взаимодействуют с ионами Mg²⁺, стабилизирующими третичную структуру тРНК; фосфат нуклеотида 57, возможно, образует водородную связь с N3 нуклеотида ψ⁵⁵, как это происходит в дрожжевой тРНК^{Phe} [11].

Из наших данных видно, что в условиях, обеспечивающих нативную пространственную структуру молекулы, фосфаты длиной вариабельной петли тРНК^{IAG} высокореакционноспособны по отношению к алкилирующим реагентам. Это свидетельствует об их экспонированности в растворе. Несколько заниженный уровень модификации имеет фосфат нуклеотида 44 в стебле вариабельной петли. Практически нереакционноспособен фосфат нуклеотида 47H на стыке стеблей вариабельной и Т-петли. Фосфаты нуклеотидов 44, 47H и 49 являются, по-видимому, основными структурными элементами молекулы тРНК^{Leu}_{IAG}, поддерживающими определенное положение длиной вариабельной петли.

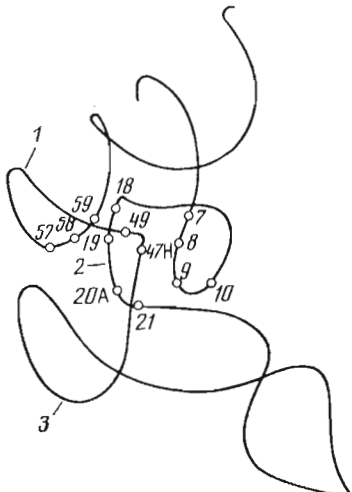


Рис. 6. Расположение фосфатов, участвующих в формировании третичной структуры тРНК^{Leu} из молочной железы коров, на обобщенной модели Сундаралингама [12] для макромолекулярной организации тРНК с длинной вариабельной петлей. 1 – Т-петля, 2 – Д-петля, 3 – вариабельная петля

Таким образом, наши данные по алкилированию остатков фосфорной кислоты тРНК^{Leu} указывают на общность укладки ее рибозофосфатного остова и остова тРНК, имеющих короткую вариабельную петлю. Различия, как и следовало ожидать, затрагивают структуру вариабельного стебля, экспонированного в растворе и образующего дополнительные третичные взаимодействия. Наши данные по экспонированности фосфатов вариабельного стебля тРНК^{Leu} хорошо согласуются с моделью Брэннала и Сундаралингама [12], предложенной для макромолекулярной организации тРНК II класса на основании теоретических расчетов. Расположение фосфатов, принимающих участие в образовании пространственной структуры тРНК^{Leu} на обобщенной Сундаралингамом макроструктуре тРНК с длинной вариабельной петлей [13], изображено на рис. 6.

В настоящее время нами проводится работа по изучению третичной структуры тРНК^{Leu} с использованием химических реагентов, специфичных к основаниям. Это позволит в комплексе с данными, представленными здесь, получить более полную картину организации пространственной структуры тРНК с длинной вариабельной петлей.

Экспериментальная часть

Препарат индивидуальной тРНК^{Leu} выделяли из суммарной тРНК лактирующей молочной железы коров методами, описанными нами ранее [7].

Этилнитрозомочевина и метилнитрозомочевица были синтезированы сотрудниками нашего института А. Г. Терентьевым, как описано в работе [14]. В работе использовали [α -³²P]АТР и [γ -³²P]АТР с уд. акт. 2000–3000 Кп/ммоль (Amersham, Англия), щелочную фосфатазу *E. coli* (КФ 3.1.3.1; Worthington, США); Т₁-РНКазу (КФ 3.1.27.3; Sankyo, Япония); полинуклеотидкиназу (КФ 2.7.1.78), выделенную из *E. coli*, инфицированной фагом T4 (Boehringer, ФРГ); тРНК нуклеотидтрансферазу (КФ 2.7.2.1), выделенную, как описано в работе [15], любезно предоставлена А. С. Буторином (Новосибирский институт биоорганической химии СО АН СССР).

Мечение тРНК^{Leu} по 3'- и 5'-концу проводили в соответствии с работами [16] и [9].

Частичный гидролиз тРНК Т₁-РНКазой осуществляли как в работе [17].

Алкилирование тРНК^{Leu} этилнитрозомочевиной и метилнитрозомочевиной проводили в двух экспериментальных условиях: стабилизирующих пространственную структуру молекулы (0,3 М какодилат натрия, pH 8,0, содержащий 0,02 М MgCl₂, 0,1 М NaCl, 2·10⁻³ М EDTA, при 23° С в течение 2,5 ч) и в денатурирующих (0,3 М какодилат натрия (pH 8,0), 2·10⁻³ М EDTA, 80° С, 2 мин). В обоих случаях алкилнитрозомочевину добавляли в реакционную смесь в виде насыщенного раствора в этаноле: 5 мкл раствора реагента к 20 мл буферного раствора, содержащего 0,4 мкг тРНК^{Leu}, мечениной по одному из концов. В контрольных экспериментах вместо насыщенного раствора реагента была добавлен чистый этанол.

После алкилирования в реакционную смесь добавляли 10 мкг суммарной тРНК, раствор подкисляли 1,5 М ацетатом Na (pH 5,0) и тРНК осаждали спиртом. Расщепление полинуклеотидной цепи по модифицированным остаткам проводили как

описано в работе [1]. Полученные образцы гидролизованной tРНК анализировали гель-электрофорезом в 12,5% полиакриламидном геле в 0,05 М трипс-богатом буфере, pH 8,3, содержащем 1·10⁻³ М EDTA и 8 М мочевину. Отнесение электрофоретических полос проводили сравнением их подвижности с подвижностью фрагментов tРНК^{Leu}_{IAG}, полученных путем частичного гидролиза рибонуклеазой T₁. Радиоавтографы гелей сканировали с помощью микроденситометра фирмы Joyce, Loeb (Англия).

Мы приносим искреннюю благодарность акад. Д. Г. Кнорре и д-ру хим. наук В. В. Власову (Новосибирский институт биоорганической химии СО АН СССР) за поддержку в работе и полезное обсуждение результатов.

ЛИТЕРАТУРА

1. Vlassov V. V., Giege R., Ebel J.-P. FEBS Lett., 1980, v. 120, № 1, p. 12–16.
2. Vlassov V. V., Kern D., Romby P., Giege R., Ebel J.-P. Eur. J. Biochem., 1983, v. 132, № 3, p. 537–544.
3. Florentz C., Briand J. P., Romby P., Hirth L., Ebel J.-P., Giege R. EMBO J., 1982, v. 1, № 2, p. 269–276.
4. Barciszewski J., Romby P., Ebel J.-P., Giege R. FEBS Lett., 1982, v. 150, № 2, p. 459–464.
5. Giege R., Romby P., Florentz C., Ebel J.-P., Dumas P., Westhof E., Moras D. In: Nucleic acids: The vectors of life/Eds Pullman B., Jortner J. Tel Aviv: Reidel Publ. Company, 1983, p. 415–426.
6. Мацку Г. Х., Ельская А. В., Коваленко М. И., Корнелюк А. И. Транспортные рибонуклеиновые кислоты. Некоторые аспекты структуры и функции. Киев: Наук. думка, 1976, с. 125–167.
7. Васильева Н. Г., Тукало М. А., Криклиевый Н. А., Мацку Г. Х. Молекулярн. биология, 1984, т. 18, № 5, с. 1321–1325.
8. Sprinzl M., Moll J., Meissner F., Hartmann T. Nucl. Acids Res., 1985, Suppl., v. 13, p. r1–r207.
9. Vlassov V., Giege R., Ebel J.-P. Eur. J. Biochem., 1981, v. 119, № 1, p. 51–59.
10. Teeter M., Quigley G. J., Rich A. In: Metal ions in genetic information transfer/Ed. Gunther L., Eichhorn L., Luigi G. Marzilli. North-Holland, N. Y.: Elsevier, 1981, p. 233–272.
11. Jack A., Ladner J. E., Klug A. J. Mol. Biol., 1976, v. 108, № 4, p. 619–649.
12. Brennan T., Sundaralingam M. Nucl. Acids Res., 1976, v. 3, № 11, p. 3235–3251.
13. Sundaralingam M. In: Conformation in biology, the festscript celebrating the sixtieth birthday of G. N. Ramachandram F.R.S./Eds Srinivasan R., Sarma R. H. N. Y.: Adenine Press, 1983, p. 191–215.
14. Lawley P. D., Shan S. A. Biochem. J., 1972, v. 128, № 1, p. 117–132.
15. Rether B., Bonnet J., Ebel J.-P. Eur. J. Biochem., 1974, v. 50, № 1, p. 281–288.
16. Silberklang M., Gillum A. M., BajBhandary U. L. Nucl. Acids Res., 1977, v. 4, № 12, p. 4091–4108.
17. Donis-Keller H., Maxam A. M., Gilbert W. Nucl. Acids Res., 1977, v. 4, № 8, p. 2527–2538.

Поступила в редакцию

12.II.1986

После доработки

16.IV.1986

1

IDENTIFICATION OF PHOSPHATE RESIDUES INVOLVED IN THE FORMATION OF SPATIAL STRUCTURE OF tRNA^{Leu}_{IAG} FROM COW MAMMARY GLAND

PETRUSHENKO Z. M., TUKALO M. A., MATSUKA G. Kh.

Institute of Molecular Biology and Genetics, Academy of Sciences
of the Ukrainian SSR, Kiev

The phosphates of the tRNA^{Leu}_{IAG} from cow mammary gland (tRNA which has a long variable loop) participating in the formation of three-dimensional structure were studied by alkylation with ethylnitrosourea and methylnitrosourea. A low degree of modification was observed for the phosphates of the following nucleotides: 7, 8, 9, 10 (at the bend site between the acceptor and D-stem); 18, 19, 20A and 21 in the D-loop; 47H and 49 at the joint of variable and T-stem; 57, 58 and 59 in the T-loop.